

# 用优化方法搜索边坡最小安全系数的一个改进

陈祖煜 邵长明

(水利水电科学研究院 北京 100044)

## 提 要

DFP法是公认的极为有效的优化方法。但在使用DFP法计算边坡最小安全系数时,结果却不够理想,出现收敛困难的问题。本文作者经过分析计算发现,DFP法直接用于边坡最小安全系数计算还存在一些问题,必须加以改进。本文对DFP法作了一定改进,使其适用于边坡最小安全系数计算。在例题计算中,经改进的DFP法的计算结果令人满意。

用极限平衡原理确定边坡稳定的安全系数通常要分两步进行。

1. 对某一可能的滑裂面,确定其稳定安全系数,有很多建立在极限平衡原理基础上的分析方法,笔者采用经陈祖煜和摩根斯顿改进后的摩根斯顿-普赖斯法<sup>[1]</sup>。该法适用于任意形状滑裂面,满足力和力矩平衡要求,已在实践中广泛使用。

2. 在所有可能的滑裂面中,确定相应最小安全系数的临界滑裂面。这个步骤包含了一个用最优化方法计算最小值的数学算法,笔者已在文献[2]中作了详细介绍。

笔者在使用普遍认为的最优化方法中的十分有效的DFP法时,发现对某些问题的结果不够理想。研究后发现此问题和边坡稳定分析的一些特殊性有关。经过改进,得到了基本解决。现将改进的方法作一介绍,作为文献[2]的补充\*。

## 一、方法简介

设某一边坡的滑裂面由连结  $n$  个点  $A_1, A_2, \dots, A_n$  的直线或曲线构成(图1),则该滑裂面的安全系数  $F$  可表达为该  $n$  个点的坐标  $x_1, y_1, x_2, y_2, \dots, x_n, y_n$  的函数:

$$F = F(x_1, y_1, x_2, y_2, \dots, x_n, y_n) \quad (1)$$

\*在笔者发表的英文论文 [3] 中,对此问题也作了探讨和分析。

使安全系数  $F$  获得极小值  $F^m$  的相应的滑裂面是由连结  $B_1, B_2, \dots, B_n$  的直线或曲线构成的, 相应的坐标  $x_1^m, y_1^m, \dots, x_n^m, y_n^m$  使由式 (1) 决定的  $F$  值取得极小值  $F^m$ 。

$$F^m = F(x_1^m, y_1^m, x_2^m, y_2^m, \dots, x_n^m, y_n^m) \quad (2)$$

确定一个初始滑裂面  $A_1, A_2, \dots, A_n$  后, 采用最优化方法, 就可以找到  $B_1, B_2, \dots, B_n$  及相应的  $F^m$ 。

图 2 示一具有塑性力学理论解的例子。对一承受垂直表面荷载  $q$  的无重量、无摩擦角的边坡, 塑性力学给出的极限承载能力  $q_e$  为 [4]:

$$q_e = 2c(1 - \psi - \frac{\pi}{2}) \quad (3)$$

其中  $c$  为凝聚力,  $\psi$  为边坡相对水平线的倾角。

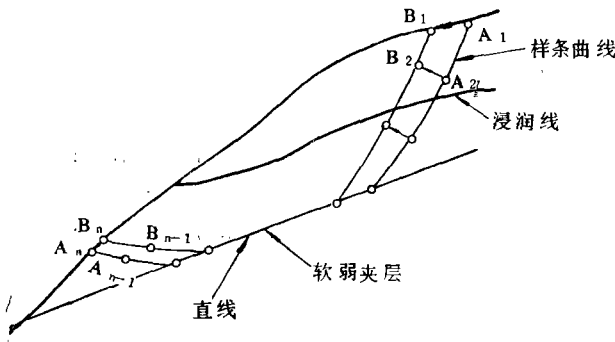


图 1 滑裂面及其控制点

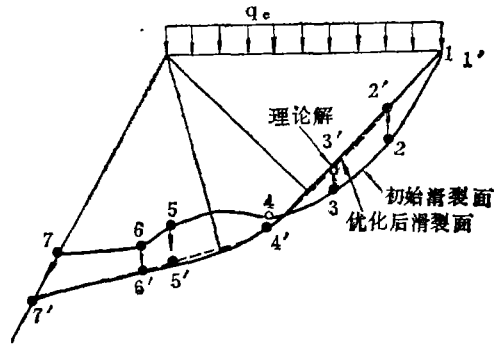


图 2 具有塑性力学理论解的例题

设初始滑裂面为由 1, 2, 3, 4, 5, 6, 7 点连成的光滑曲线, 相应安全系数为 1.1011。采用最优化方法后, 得到使安全系数取得最小值的相应点 1', 2', 3', 4', 5', 6', 7', 相应安全系数为 1.0089。连结此七个点的光滑曲线与塑性力学给出的理论滑裂面几乎重合。

采用 DFP 法计算  $F^m$  的步骤如下:

- (1) 确定一个初始滑裂面, 其相应的控制点的坐标用向量  $Z^0$  表示

$$Z^0 = (x_1^0, y_1^0, x_2^0, y_2^0, \dots, x_n^0, y_n^0)^T \quad (4)$$

计算其相应安全系数  $F^0$ 。

- (2) 确定搜索方向  $S^0$ , 具体方法下面介绍。

(3) 对  $Z^0$  赋一增量  $\alpha S^0$ , 取  $\alpha$  使  $F(Z^0 + \alpha S^0)$  获得极小值。决定  $\alpha$  采用最优化方法中一维搜索的原理。这样, 我们获得第一个迭代步的向量  $Z^1 = Z^0 + \alpha S^0$ , 相应安全系数为  $F^1$ 。

(4) 若  $|F^1 - F^0| < \epsilon$ , 认为迭代已收敛, 所得  $F^1$  值即为最小值  $F^m$ 。否则, 进行下一个迭代步, 以  $Z^1$  和  $F^1$  为起点重复 1 到 3 的步骤。  $\epsilon$  为迭代收敛精度要求, 我们取  $\epsilon = 1.5 \times 10^{-5}$ 。

在某一迭代步  $\nu$ ,  $S^\nu$  是由下式计算决定的

$$S^\nu = -A^\nu G^\nu \quad (5)$$

其中



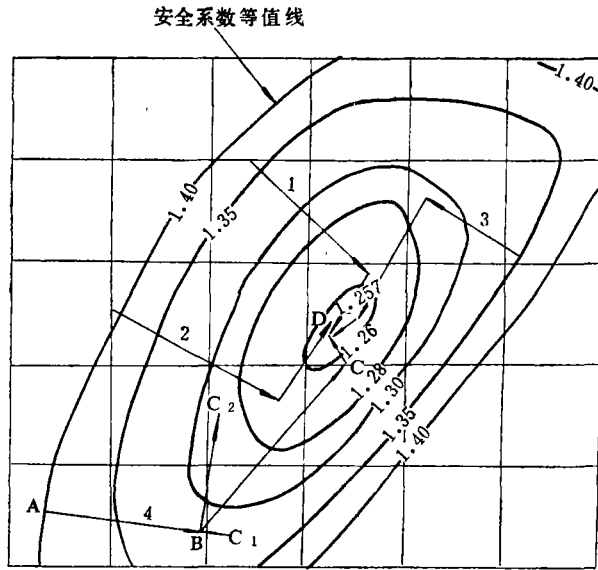


图 4 图 3 所示例题的等值线和优化迭代过程  
 第 4 号滑裂面 第二次一维搜索的方向为：  
 BC<sub>1</sub>: 修改前的 DFP 法  
 BC: 修改后的 DFP 法  
 BC<sub>2</sub>: 负梯度法

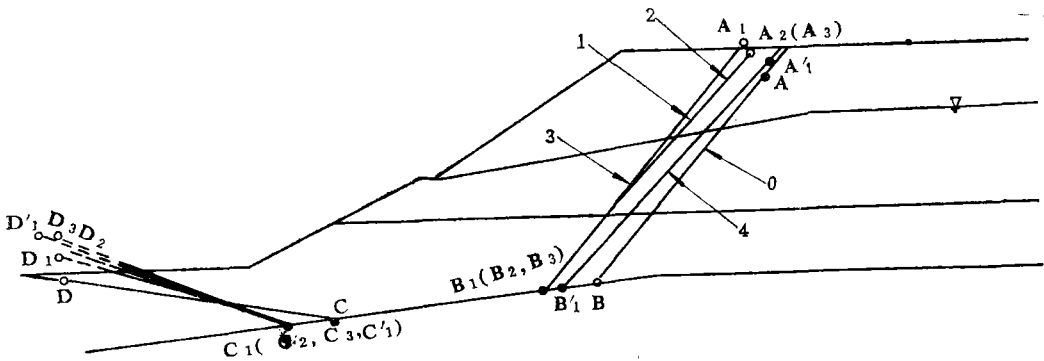


图 5 各种优化方法优化结果比较 0: 初始滑裂面; 2, 3: 用单形法和负梯度法获得的临界滑裂面; 4: 采用未改进的 DFP 法获得的临界滑裂面; 1: 采用改进后的 DFP 法获得的临界滑裂面

注: A<sub>1</sub>和A<sub>3</sub>; B<sub>1</sub>, B<sub>2</sub>, B<sub>3</sub>; C<sub>1</sub>, C<sub>2</sub>, C<sub>3</sub>和C<sub>1</sub>' 分别基本重合。

经过深入研究后,发现这个问题主要是由 $F$ 对控制点的坐标 $x, y$ 的二阶导数的量纲引起的。DFP法的基本思想是通过迭代使 $A^0, A^1, A^2, \dots, A^n$ 逼近极值点处海色矩阵 $H$ 的逆矩阵。相应某一向量 $(z_1, z_2, \dots, z_n)^T$ 的函数 $F$ 的海色矩阵定义为:

$$H = \begin{bmatrix} \frac{\partial^2 F}{\partial z_1^2} & \frac{\partial^2 F}{\partial z_1 \partial z_2} & \cdots & \frac{\partial^2 F}{\partial z_1 \partial z_n} \\ & \frac{\partial^2 F}{\partial z_2^2} & \cdots & \frac{\partial^2 F}{\partial z_2 \partial z_n} \\ & & \cdots & \\ \text{对称} & & & \frac{\partial^2 F}{\partial z_n^2} \end{bmatrix} \quad (13)$$

在边坡稳定分析中,  $\frac{\partial^2 F}{\partial z_i \partial z_j}$  的量纲通常在  $10^{-2} \sim 10^{-5}$  范围内, 即  $H^{-1}$  的各元素数值的量纲大约在  $10^2 \sim 10^5$  范围内。常规方法初始迭代采用的  $A^0$ , 如前所述为单位矩阵, 其量纲和最终要趋近的  $H^{-1}$  的量纲相距甚远, 因此有时会出现收敛困难。

改进后的方法取

$$A^0 = I \times 10^p \quad (14)$$

其中  $p$  为对  $H^{-1}$  量纲的平均值的一个估值, 可按下列式确定

$$10^p \leq \frac{\sum_{i=1}^n \left| \frac{\partial^2 F}{\partial z_i^2} \right|^{-1}}{n} < 10^{p+1} \quad (15)$$

本例的计算结果表明, 此改进是成功的。图 4 中 ABCD 代表了改进后的 DFP 法迭代过程, 最终成果非常好地收敛到极值点。图 5 中标为 1 的折线为改进后的 DFP 法计算所得临界滑裂面。它和负梯度法、单形法的成果很接近,  $F^m = 1.0250$ , 前者的成果甚至更小一点。

DFP 法被公认为最优化方法中极为有效的计算方法。对此法的改进有利于搜索最小安全系数的算法在实践中推广。

### 参 考 文 献

- [1] Chen Z, Morgenstern N.R., Extensions to the Generalized Method of Slices for Stability Analysis, *Canadian Geotechnical Journal*, 1983, 20, 104—109.
- [2] 陈祖煜、邵长明, 最优化方法在确定边坡最小安全系数方面的应用, 《岩土工程学报》, 1988, 4(10), 1—13.
- [3] Chen Z, Shao C., Evaluation of Minimum Factor of Safety in Slope Stability Analysis, *Canadian Geotechnical Journal*, 1988, 25, 735—748.
- [4] 王仁、黄文彬, 《塑性力学引论》, 北京, 北京大学出版社, 1982, 163—166.